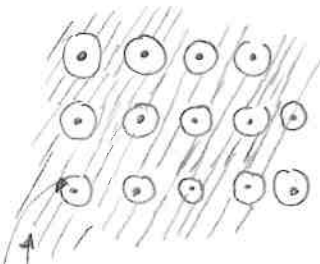


(1)

O gás de elétrons



elétrons de condução

elétrons de "carregos"

ions de "carregos".

O gás de elétrons, juntamente com o oscilador harmônico quântico é um modelo paradigmático em Física, particularmente Física da Materia Condensada.

Começam nossa discussão com o Hamiltoniano da "Teoria de Tudo" (Laughlin, Pines)

$$H = (T_{ion} + V_{ion-ion}) + (T_{ee} + V_{ee-ee}) + V_{ee-ion}$$

$$\begin{aligned} T_{ion} + V_{ion-ion} &= \int d\vec{R} \Psi_{ion}^+ (\vec{R}) \left(-\frac{\hbar^2}{2M} \nabla_{\vec{R}}^2 \right) \Psi_{ion} (\vec{R}) \\ &+ \frac{1}{2} \int d\vec{R}_1 d\vec{R}_2 \Psi_{ion}^+ (\vec{R}_1) \Psi_{ion}^+ (\vec{R}_2) \frac{ze^2}{|\vec{R}_1 - \vec{R}_2|} \Psi_{ion} (\vec{R}_2) \Psi_{ion} (\vec{R}_1) \end{aligned}$$

$$\begin{aligned} T_{ee} + V_{ee-ee} &= \int d\vec{r} \Psi_e^+ (\vec{r}) \left(-\frac{\hbar^2}{2m_e} \nabla_{\vec{r}}^2 \right) \Psi_e (\vec{r}) \\ &+ \frac{1}{2} \sum_{\sigma_1 \sigma_2} \int d\vec{r}_1 d\vec{r}_2 \Psi_{\sigma_1}^+ (\vec{r}_1) \Psi_{\sigma_2}^+ (\vec{r}_2) \frac{e^2}{|\vec{r}_1 - \vec{r}_2|} \Psi_{\sigma_2} (\vec{r}_2) \Psi_{\sigma_1} (\vec{r}_1) \end{aligned}$$

$$V_{ee-ion} = - \sum \int d\vec{r} d\vec{R} \Psi_e^+ (\vec{r}) \Psi_{ion}^+ (\vec{R}) \frac{ze^2}{|\vec{r} - \vec{R}|} \Psi_{ion} (\vec{R}) \Psi_e (\vec{r})$$

Conforme argumento de Laughlin + Pines, o Hamiltonian acima tem muita informação. Podemos fazer algumas aproximações razoáveis em alguns limites para descrever, por exemplo, o comportamento de metais.

Metais \rightarrow propriedades vêm dos elétrons de condução

(2)

Primeira aproximação: íons ^{de carga} formam um potencial periódico $V(\vec{r})$

"quase estáticos" a baixas temperaturas. Consideraram os efeitos de vibrações desse "cânhamo de molas" maior à frente (fônons).

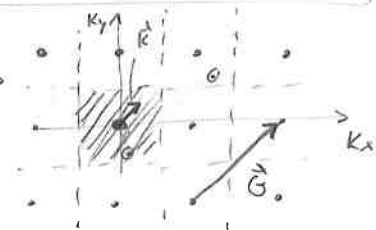
Segunda aproximação: "Modelo de Jellium" \rightarrow íons (campos) discretos podem ser aproximados por um fluido contínuo, positivamente carregado e homogêneo: um "jellium".

A primeira aproximação é bastante comum em Materiais Condensados e leva a uma descrição das funções de onda em termos do "Teorema de Bloch" para potenciais periódicos na forma:

$$V(\vec{r} + \vec{R}) = V(\vec{r}) \Leftrightarrow V(\vec{r}) = \sum_{\vec{G} \in \text{Reta}} V_{\vec{G}} e^{i\vec{G} \cdot \vec{r}}, \quad \vec{G} \cdot \vec{R} = 2\pi n$$

$$\Rightarrow [H_{\text{Bloch}} \Psi_{n\vec{k}\sigma}(\vec{r}) = E_{n\vec{k}} \Psi_{n\vec{k}\sigma}(\vec{r})] \quad \text{onde} \quad \Psi_{n\vec{k}\sigma}(\vec{r}) = U_{n\vec{k}}(\vec{r}) e^{i\vec{k} \cdot \vec{r}}$$

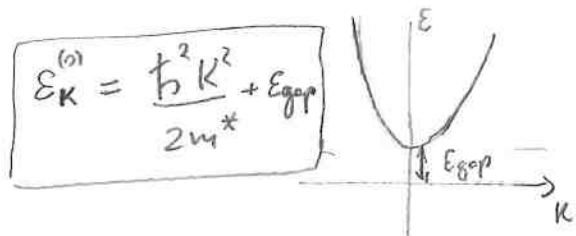
$$\Psi_{n\vec{k}\sigma} = \begin{cases} \vec{k} \in \text{Primeria Zona de Brillouin (PZB)} \\ n \rightarrow \text{índice de banda} \\ U_{n\vec{k}}(\vec{r} + \vec{R}) = U_{n\vec{k}}(\vec{r}) \end{cases}$$



Uma terceira aproximação nos permite aproximar $\Psi_{n\vec{k}\sigma}$ por ondas planas e todo o efeito do potencial periódico dos íons. é codificado em uma massa efetiva para o elétron: (modelo de massa efetiva)

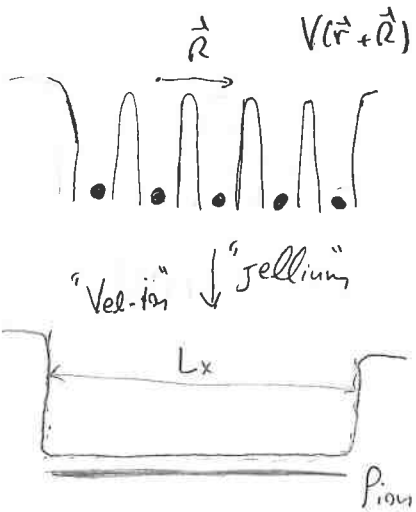
$$\left\{ \begin{array}{l} \Psi_{n\vec{k}\sigma} \rightarrow \frac{1}{\sqrt{N}} e^{i\vec{k} \cdot \vec{r}} \chi_{\sigma} \\ m \rightarrow m^* \\ \vec{k} \rightarrow \text{sem restrições} \end{array} \right.$$

$$E_{\vec{k}}^{(n)} = \frac{\hbar^2 \vec{k}^2}{2m^*} + E_{\text{gap}}$$



(3)

O modelo de jellium também leva também a onda plana, uma descrição similar ao modelo de massa efetiva no seguinte sentido: considerando a densidade iônica como sendo uniforme e constante, $+z \rho_{ion}$ produzindo um potencial efetivo atrativo constante em um volume $V_{ol} = L_x L_y L_z$, esse potencial efetivamente elimina as inovações da parte eletrônica, tornando o sistema neutro em termos de carga.



$$\Rightarrow H_{\text{jellium}} = T_{el}$$

em um volume $V_{ol} = L_x L_y L_z$.

$$\Rightarrow H_{\text{jellium}} \Psi_{K\sigma}^{(\vec{r})} = \frac{\hbar^2 k^2}{2m} \Psi_{K\sigma}^{(\vec{r})}; \Rightarrow \Psi_{K\sigma}^{(\vec{r})} = \frac{1}{\sqrt{V_{ol}}} e^{i k \cdot \vec{r}} X_\sigma$$

(funções de onda)

Escrivendo em \mathbb{Z}^2 quantizações:

$$H_{\text{jellium}} = \sum_{\sigma} \int d\vec{r} \Psi_{\sigma}^{*(\vec{r})} \left(-\frac{\hbar^2}{2m} \nabla_{\vec{r}}^2 \right) \Psi_{\sigma}^{(\vec{r})} = \sum_{K\sigma} E_K C_{K\sigma}^{+} C_{K\sigma}$$

onde

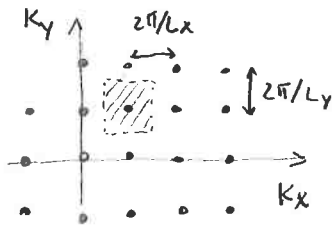
$$\Psi_{\sigma}^{(\vec{r})} = \sum_{\vec{K}} \Psi_{K\sigma}^{*(\vec{r})} C_{K\sigma}^{+}$$

é o operador de campo e

$$E_K = \frac{\hbar^2 k^2}{2m}$$

Se $V_{ol} = L_x L_y L_z$ então $K_{x(y,z)} = \frac{2\pi n_{x(y,z)}}{L_{x(y,z)}}$ com $n_{x(y,z)} = 0, \pm 1, \pm 2, \dots$

está em valores quantizados. O "volume K" de um ponto derru é:



$$V_K^{1\text{point}} \frac{2\pi}{L_x} \frac{2\pi}{L_y} \frac{2\pi}{L_z} = \frac{(2\pi)^3}{V_{ol}} \Rightarrow \frac{d^3 K}{V_{ol}} = \frac{d^3 \vec{r}}{(2\pi)^3} \cdot V_{ol}$$

Logo:

$$N_{\text{part}} = \sum_{\vec{K}} = \int \frac{d^3 K}{V_{ol}} = V_{ol} \int \frac{d^3 \vec{r}}{(2\pi)^3}$$

$$\frac{1}{V_{ol}} \sum_{\vec{K}} \rightarrow \int \frac{d^3 K}{(2\pi)^3}$$

Qual será então o estado (fundamental) de N elétrons de Hjelium? Como o sistema é não-interagente, esse estado será claramente escrito como um produto (anti-simétrico) de estados de partícula única $|\vec{k}, \sigma\rangle$ tal que $\langle \vec{r} | \vec{k}\sigma \rangle = \Psi_{k\sigma}(\vec{r})$. Na representações de número de ocupação, serão ocupados os N estados de energia E_K mais baixa, sendo que $|K\uparrow\rangle$ e $|K\downarrow\rangle$ tem a mesma energia (gás degenerado): Supondo N par

$$|GS\rangle_N = |n_{K_1\uparrow}=1, n_{K_1\downarrow}=1, n_{K_2\uparrow}=1, n_{K_2\downarrow}=1, \dots, n_{K_{N/2}\uparrow}=1, n_{K_{N/2}\downarrow}=1, n_{K_{N+1}}=0, \dots\rangle$$

onde $E_{K_1} < E_{K_2} < E_{K_3} \dots < E_{K_{N/2}} \equiv E_F$ ← energia de Fermi

Em termos de operadores de criações fermionicas:

$$|GS\rangle_N = C_{K_{N/2}\uparrow}^+ C_{K_{N/2}\downarrow}^+ \dots C_{K_1\uparrow}^+ C_{K_1\downarrow}^+ C_{K_2\uparrow}^+ C_{K_2\downarrow}^+ \dots C_{K_{N/2}\uparrow}^+ C_{K_{N/2}\downarrow}^+ |0\rangle$$

O vetor \vec{K} relativo ao último estado ocupado no estado fundamental é denominado vetor de onda de Fermi \vec{K}_F e o conjunto de

pontos (K_x, K_y, K_z) tais que

$$K_x^2 + K_y^2 + K_z^2 = |\vec{K}_F|^2 = K_F^2$$

define a superfície de Fermi.

(no caso de Hjelium, é uma esfera)

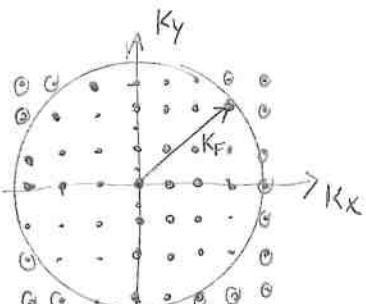
O volume V_{K_F} envolto pela superfície de Fermi é proporcional ao número de estados ocupados = $N/2$ (cada estado comporta duas partículas)

Sendo: $E_F = \frac{\hbar^2 K_F^2}{2m} \Rightarrow K_F = \sqrt{\frac{2m E_F}{\hbar^2}}$

$$\left. \begin{aligned} K_F^3 &= 3\pi^2 \left(\frac{N}{V_{2d}} \right) \equiv 3\pi^2 n \\ &\text{(densidade)} \end{aligned} \right\}$$

$$(3D) \quad V_{K_F} = \frac{4}{3} \pi K_F^3 = \frac{N}{2} V_K^{1/3} = \frac{N}{2} \cdot \frac{(2\pi)^3}{Vol}$$

$$\left. \begin{aligned} E_F &= \left[\frac{\hbar^2}{2m} (3\pi^2)^{2/3} \right] n^{2/3} \end{aligned} \right]$$



(5)

A relação entre a energia de Fermi E_F e o outro importante parâmetro físico, a densidade $n = \frac{N}{Vol}$ do gás é um dos principais resultados da teoria do gás de elétrons.

Podemos obter esse resultado a partir do operador $\hat{N}_{k\sigma} = c_{k\sigma}^\dagger c_{k\sigma}$:

$$N = \langle G_S | \hat{N} | G_S \rangle = \langle G_S | \sum_{\sigma k} \hat{n}_{k\sigma} | G_S \rangle = \left(\frac{1}{Vol} \sum_k + \int \frac{d^3 k}{(2\pi)^3} \right) =$$

$$= \sum_{\sigma} \frac{Vol}{(2\pi)^3} \int d^3 k \underbrace{\langle G_S | \hat{n}_{k\sigma} | G_S \rangle}_{\Theta(K_F - |\vec{k}|)} = \frac{2Vol}{(2\pi)^3} \underbrace{\int \left[\int \int d\varphi \sin\theta d\theta \right] K^3 dK}_{(indep \text{ de } \sigma)}$$

$$\underbrace{4\pi K_F^3}_{3}$$

$$\Rightarrow \frac{N}{Vol} = \frac{2}{8\pi^3} \frac{4}{3} \pi K_F^3 \Rightarrow \underline{K_F^3 = 3\pi^2 n}$$

$$\epsilon_k = \frac{\hbar^2 k^2}{2m}$$

Calcularmos também a energia do estado fundamental:

$$E^{(0)} = \langle G_S | H_{\text{jelium}} | G_S \rangle = \langle G_S | \sum_{k\sigma} \epsilon_k \hat{n}_{k\sigma} | G_S \rangle = \sum_{\sigma} \frac{Vol}{(2\pi)^3} \int d^3 k \epsilon_k \Theta(K_F - |\vec{k}|)$$

$$= \frac{2Vol}{(2\pi)^3} \left(\frac{\hbar^2}{2m} \right) \cdot \underbrace{\int \int \int d\varphi \sin\theta d\theta}_{(4\pi)} \cdot \underbrace{\int_0^{K_F} K^2 \cdot K^2 dK}_{K_F^5/5} = \frac{Vol \cdot 8\pi^2}{8\pi^3} \cdot \frac{\hbar^2}{2m} \cdot \frac{K_F^5}{5}$$

$$E^{(0)} = \frac{Vol}{\pi^2} \epsilon_F \cdot \frac{3\pi^2 n}{5} = \frac{3}{5} N \epsilon_F$$

é a energia no estado fundamental do gás de elétrons

Valores típicos para metais (cobre) ($1 \text{ meV} = 11.6 \text{ K}$)

$$\left\{ \epsilon_F = 7.03 \text{ eV} \approx 81600 \text{ K}/k_B \quad (\text{típico} \sim 10 \text{ eV ou 100 mil Kelvin}) \right.$$

$$\left\{ \lambda_F = \frac{2\pi}{K_F} = 0.46 \text{ nm} = 4.6 \text{ \AA} \quad (\text{típico } 1 \text{ \AA} \rightarrow \text{DIFÍCIL DE CONFIRMAR!!}) \right.$$

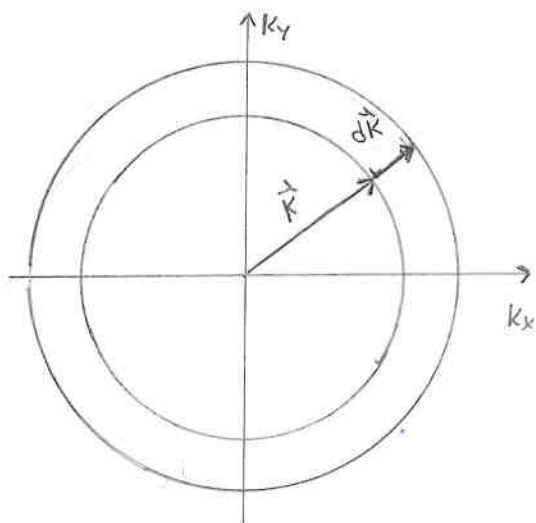
$$\left. v_F = \frac{\hbar K_F}{m} = 1.57 \times 10^6 \text{ m/s} = 0.005 \text{ c} \right.$$

(6)

Densidade de Estados

A densidade de estados é uma das principais características de um sistema quântico de muitos corpos. No caso do gás de elétron não interagente, pode ser obtida analiticamente. É definida como $P_0(\epsilon) = \frac{dN_{st}}{d\epsilon}$ onde $\Delta N_{st}(\epsilon) = P_0(\epsilon) \Delta \epsilon$ é o número de estados com energia entre ϵ e $\epsilon + \Delta \epsilon$.

No caso do gás de elétron $\Delta N_{st}(\epsilon)$ está diretamente ligado ao número de partículas com energias entre ϵ e $\epsilon + \Delta \epsilon$. Equivalentemente, será igual ao número de estados contido no volume no espaço \vec{k} entre \vec{k} e $\vec{k} + d\vec{k}$



$$\Delta N_k = \frac{2 \Delta V_k}{V_k^{\text{est}}} = \frac{8\pi k^2 dk}{(2\pi)^3 / \text{Vol}} = \frac{\text{Vol}}{\pi^2} k^2 dk \quad (3D)$$

Para encontrar $\Delta N_{st}(\epsilon)$, usamos:

$$\Rightarrow k = \left(\frac{2m}{\hbar^2}\right)^{1/2} \epsilon^{1/2}; \quad d\epsilon = \frac{\hbar^2}{2m} 2k dk = \frac{\hbar^2}{m} k dk$$

$$\text{Logo } k^2 dk = k \cdot k dk = \left(\frac{2m}{\hbar^2}\right)^{1/2} \cdot \frac{m}{\hbar^2} \epsilon^{1/2} d\epsilon = \frac{1}{2} \left(\frac{2m}{\hbar^2}\right)^{3/2} \epsilon^{1/2} d\epsilon$$

$$\text{Assim: } \Delta N_{st}(\epsilon) = \frac{\text{Vol}}{2\pi^2} \cdot \left(\frac{2m}{\hbar^2}\right)^{3/2} \epsilon^{1/2} d\epsilon \Rightarrow P_0(\epsilon) = \frac{\text{Vol}}{2\pi^2} \left(\frac{2m}{\hbar^2}\right)^{3/2} \epsilon^{1/2} \quad (3D)$$

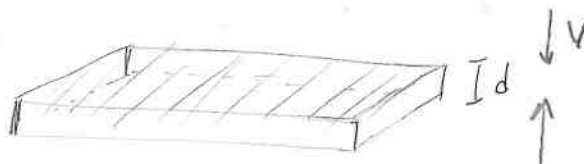
$\epsilon < \epsilon_F$

A densidade de estados é muito útil para se passar de uma integral de momentos para uma integral em energia. Note que, em energia, temos:

$$N = \int_0^{\epsilon_F} P_0(\epsilon) d\epsilon \quad ; \quad E^{(o)} = \int_0^{\epsilon_F} \epsilon P_0(\epsilon) d\epsilon$$

Gás de elétrons em 2D

O "gás de elétron em 2D" (2DEG) é um sistema bem conhecido e relativamente fácil de ser realizado experimentalmente (tipicamente em interfaces de heteroestruturas semicondutoras). Do ponto de vista da teoria, o 2DEG tem várias características interessantes.

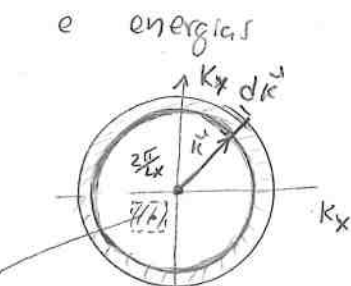


2DEG

$$\Psi_{kz}(\vec{r}) = \frac{1}{\sqrt{A}} e^{i\vec{k}\cdot\vec{r}} \varphi_n(z) \chi_z \quad \begin{cases} \vec{k} = (k_x, k_y) \\ \vec{r} = (x, y) \end{cases}$$

$$\epsilon_{\vec{k}_{xy}, i} = \frac{\hbar^2(k_x^2 + k_y^2)}{2m} + \epsilon_i^z = \underline{\epsilon_{k}^{2D}} + \epsilon_i^z$$

$$A_k^{tot} = \frac{(2\pi)^2}{A}$$



A densidade de estados se modifica pois a dimensionalidade muda.

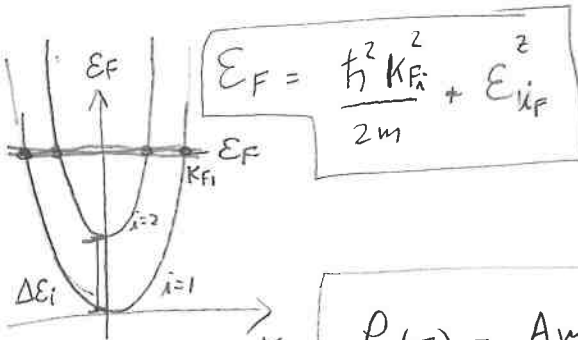
$$\Delta N_k^{2D} = 2 \frac{\Delta A_k}{A_k^{tot}} = \frac{2 \cdot 2\pi K dK}{(2\pi)^2/A} = \frac{A \pi K}{4\pi^2} \cdot \frac{m}{\hbar^2} \cdot dE^{2D} \quad (\epsilon^{2D} = \frac{\hbar^2 K^2}{2m} \Rightarrow dE^{2D} = \frac{\hbar^2}{m} K dK)$$

$$\Rightarrow \Delta N_{st}^{2D}(\epsilon) = \frac{Am}{\pi\hbar^2} dE \Rightarrow \boxed{\rho_0^{2D}(\epsilon) = cte = \frac{Am}{\pi\hbar^2}} \quad \text{para os estados } k. \quad (\text{dado } n)$$

No entanto, a energia de Fermi vai envolver os estados confinados também:

$$(\epsilon_F^{2D} \ll \epsilon_F^{\text{metal}} \Rightarrow \epsilon_F^{2D} \approx 10 \text{ meV})$$

onde i_F determina o índice de sub-banda, ou seja, para cada subbanda $i \rightarrow i+1$ um "novo" contínuo de estados fica "disponível" para ser preenchido.



$$\rho_o(E) = \frac{Am}{\pi\hbar^2} \sum_{i=1}^{i_F} H(E - \epsilon_i)$$

$H(E - \epsilon_i) \rightarrow$ funções de Heaviside ("escadas")

(8)

Densidade de estados em 1D e 0D

Sistemas eletrônicos unidimensionais também são possíveis de serem realizados experimentalmente. Os exemplos mais comuns são nanotubos de carbono e "fios" quânticos (álém de estados de borda em sistemas Hall). No entanto, a descrição correta desses sistemas envolve, em geral, um modelamento além do "gás de elétrons em 1D". As razões são variar, desde efeitos de superfície (estado quirial em nanotubos) até efeitos mais expressivos da interação elétron-elétron em 1D ("blindagens" menor efetiva, líquido de Luttinger).

De qualquer modo, é um exercício didático interessante derivar a densidade de estados do "1DEG". A função de onda fica escrita como:

$$\Psi_{K\sigma}(x, y, z) = \frac{1}{V} e^{iKx} \cdot \Psi_{n\ell}(y, z) X_\sigma; \quad E_{K,n\ell} = \frac{\hbar^2 K^2}{2m} + E_n + E_\ell$$

para a densidade de estados no contínuo: $\Delta N_K^{1D} = 2 \frac{\Delta L_K}{L_{\text{ext}}} = 2 \cdot \frac{dK}{(2\pi)/L} = \frac{L}{\pi} dK$

$$dE = \frac{\hbar^2}{m} K dK \Rightarrow dK = \frac{m}{\hbar^2} \frac{dE}{E^K} \frac{\hbar}{(2\pi)^K} \Rightarrow \Delta N_{SI}(E) = \frac{L}{\pi \hbar (2)} \frac{(m)^{1/2}}{2} E^{-1/2} dE$$

ou seja

$$P_0^{1D}(E) = \frac{L}{\pi \hbar} \left(\frac{m}{2}\right)^{1/2} E^{-1/2} \Rightarrow P_0(E) = \frac{L}{\pi \hbar} \left(\frac{m}{2}\right)^{1/2} \sum_{n,\ell} \frac{H(E-E_n) H(E-E_\ell)}{E^{1/2}}$$

Em 0D (ponto quântico), não há um contínuo de elétrons. A densidade é apenas uma soma de δ :

